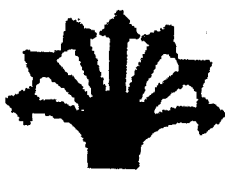


۲۵۹۴



پژوهشگاه مواد و انرژی

((بررسی اثر افزودنی Al بر تحول فازی و ریز ساختاری
ترکیبات MoSi₂ تهیه شده به روش ((SHS))

رساله برای دریافت درجه دکترا (PhD)
در رشته مهندسی مواد

سید علی طیبی فرد

۱۳۸۷ / ۱۲ / ۰۷

استاد راهنما:
دکتر رحیم یزدانی راد
استاد مشاور:
دکتر مسعود درودیان

بهار ۱۳۸۵

۹۳۹۵۷

تقدیم ب حمله
که ایت رکرانه همپون شمع سمعت تا
آخونه اندیشه من کرد این طبقه ن کوشش آید

سپاسنامه

حمد و سپاس خداوند یکتا را که سپاس و ستایش مخصوص اوست و اگر نبود عبارت مَنْ لَمْ
يَشْكُرُ الْخَلُوقَ لَمْ يَشْكُرِ الْخَالِقَ سخن کوتاه می کردم. اینک شاهد به ثمر نشستن تلاشی هستیم که
در سایه عنایات الهی و همراهی استید و دوستان گرامی به بار نشسته است، می دانم قلم این حقیر
ناتوان تراز آنست که پاسخگوی این همه محبت و بزرگواری باشد ولیکن چاره چیست، بارگران و ما
ناتوان.

در ابتدا بر خود لازم می دانم از آقای دکتر رحیم یزدانی راد که از اولین گامهای این پروژه
مشوق و راهنمای بند بودند و همواره از دیدگاههای ارزشمند ایشان بهره می جستم، کمال تشکر و
امتنان را داشته باشم.

آقای دکتر مسعود درودیان با دانش و تجربیات ذی قیمت خود همیشه بیش از یک استاد
مشاور، همچون چرافی فروزان فرا روی گامهای من در زوایای تاریک این تحقیق بودند، نهایت
سپاس و تشکر را از ایشان دارم.

آقای دکتر کامران احمدی اگرچه در واپسین مراحل پروژه توفیق بهره گیری از دیدگاههای
ژرف ایشان در زمینه مسائل بلورشناسی و تعیین فاز نصیب بند شد ولیکن با راهنمایی ها و
همراهی های مشفقاته خویش مسبب به ثمر نشستن تلاش ما در یافتن یک فاز جدید شد، از این
استاد گرامی بی نهایت متشکرم.

استاد گرامی آقای دکتر فتح الله مضطربزاده همواره با راهنمایی ها و مساعدتهای مشفقاته
خویش مسیری روشن در جهت اجرای تحقیقات پویا فرا روی ما قرار می دادند، کمال
امتنان را از ایشان دارم.

از میهمان نوازی آقای پروفسور عباس هابیل فرشچی و همکاری بی نظیر و دقیق آقای دکتر
Gudrun Fritzsche و خانم Guido Reisel از دانشگاه کمنیتز آلمان در جهت انجام آنالیزهای
DSC بسیار سپاسگزارم.

آقایان دکتر سید خطیب الاسلام صدرنژاد و محمد رضا رحیمی پور؛ بار عظیم اداری و پژوهشی پژوهشگاه را عهده دار شده اند. از توجه و راهنمایی های این بزرگواران در جهت نیل به اهداف پژوهشی خود نهایت قدردانی و امتنان را دارم.

آقایان دکتر مهران صولتی هشجین، محمد پازوکی و بابک رئیسی دهکردی در جهت انجام کلیه امور تحصیلی بنده از ابتدا تا انتهای این دوره از هیچ کوششی مضائقه نکردند، از این گرامیان متشرکرم.

اساتید گرامی آقایان دکتر فریدون حصاری، بهمن به دین، محمد علی بهره ور، کاووس فلامکی، نیازهای بی شمار تحقیقاتی ما را به نحو احسن پاسخگو بودند، بدین وسیله مراتب سپاس خود از این عزیزان را اعلام می دارم.

آقایان آرش رضایی و مجید اعظم عزیزانی که تمام اوقات خود را از اولین روزهای ورود ما به پژوهشگاه تا واپسین لحظات صمیمانه مصروف امور تحصیلی ما کردند، از این بزرگواران بی نهایت سپاسگزارم.

آقای محمد رضا حسن زاده در تمامی لحظات همراه، همگام و حتی پیشروی ما دلسوزانه در پیشبرد عملیات اجرایی پروژه از قبیل فراهم آوردن و حتی ساخت تجهیزات و کوره های مورد نیاز یار و یاور ما بود، از ایشان بابت این همه زحمت و مرارت کمال امتنان و تشکر را دارم.
از اطلاعات و دانش فنی و حمایت های آقایان مهندس هوشنگ عزیزی و علی اکبر خشه چی همواره بهره مند بودم از این عزیزان سپاسگزارم.

آقایان مهندس سیامک نورایی، مجاهد پارسی و احمد فتاحی و خانمها مهندس زمانیان، یاوری، جمالی نیک و موقر آنالیز های متعدد مورد نیاز ما را با دقت و حوصله فراوان اجرا می کردند، از رحمات بی دریغ این گرامیان بسیار متشرکرم.

آقایان آرش کاویانی، مهدی حبیبی، محمد علی کبیری، بهروز ضرغامی، طاهر دین محمد پور، عبدالرضا سلیمانی و ابراهیم جباری در مراحل گوناگون اندازه گیری های پارامترهای مختلف،

آنالیزها و تشخیص‌های گوناگون با تلاش پی گیر خود ما را به هدف نزدیکتر می ساختند، از این دوستان متشرکرم.

آقایان مهندس یوسف دربانی، شهرام عامری و خانم اسدی در مدیریت اطلاع رسانی با کوشش بی وقه خود کمک شایانی در دسترسی ما به شبکه جهانی اینترنت و تجهیز رایانه‌ها داشتند، از این عزیزان سپاسگزارم.

آقای دکتر رضا پولادی دوست، همراه و استاد بنده همواره با رهنمودهای گران سنگ خویش مشوق و جان بخش ما بود امیدوارم بیش از پیش در تمامی مراحل زندگی موفق و پیروز باشند. دوران طولانی و پرنشیب و فراز این دوره تحصیلی با همراهی آقایان دکتر مسعود علیزاده و رضا سalarیان برد و سلامت می نمود، از این دوستان متشرکرم.

خانمهای ادھمی و مرادی و همکاران محترم‌شان در کتابخانه پژوهشگاه همواره در اسرع وقت منابع مطالعاتی مورد نیاز را در اختیار ما قرار می دادند، از تلاش این بزرگواران متشرکرم.

خانمهای یوسفی نژاد، دهقان، پور اسفندیاری و اخوان مسئولیت هماهنگی ما با مسئولین پژوهشگاه را بر عهده داشتند، از این گرامیان سپاسگزارم.

خانمهای قره داغی و فولادیان در تهییه گزارشات پژوهش تلاش شایانی داشتند، از ایشان متشرکرم. آقای غلامرضا سلیمانی مثل همیشه پر توان در چاپ، تکثیر و تجلیل گزارشات پژوهش یار و یاور ما بود، از این عزیز بسیار سپاسگزارم.

در انتها از دیگر عزیزانی که در این فرصت مجالی برای یاد از ایشان نبود نهایت تشکر و قدرانی را دارم.

سید علی طیبی فرد

بهار ۱۳۸۵



پژوهشگاه مواد و انرژی
مدیریت تحصیلات تکمیلی

به نام خدا

**صور تجلیسه ارزیابی نهایی دفاع
از رساله دکترا**

شماره:

تاریخ:

شماره دانشجویی: ۷۹۱۱۳۲۰۴

تاریخ دفاعیه: ۱۳۸۵/۳/۱۷

نام خانوادگی: طبیبی فرد

مشخصات دانشجو:

نام: سیدعلی

رشته: مهندسی مواد

موضوع رساله: بررسی اثر افزودن Al و نسبت $SiC/MoSi_2$ بر ریز ساختار و چگالش کامپوزیتهاي $MoSi_2-SiC$ تهیه شده به روش SHS به حروف: هفده و هشتاد و هشت صدم

نمره رساله به عدد: ۱۷/۸۸

واحد: ۲۴

درجه ارزشیابی: خوب

استاد راهنما:

نام و نام خانوادگی: دکتر رحیم یزدانی راد رتبه دانشگاهی دانشیار از پژوهشگاه مواد و انرژی

استاد مشاور:

نام و نام خانوادگی: دکتر مسعود درودیان رتبه دانشگاهی استادیار از پژوهشگاه مواد و انرژی

استادان مدعو:

نام و نام خانوادگی: دکتر فرهاد گلستانی فرد رتبه دانشگاهی استاد از دانشگاه علم و صنعت

نام و نام خانوادگی: دکتر احسان طاهری نساج رتبه دانشگاهی استادیار از دانشگاه تربیت مدرس

نام و نام خانوادگی: دکتر علیرضا آقایی رتبه دانشگاهی استادیار از پژوهشگاه مواد و انرژی

نام و نام خانوادگی: دکتر اسماعیل صلاحی رتبه دانشگاهی استادیار از پژوهشگاه مواد و انرژی

نماینده تحصیلات تکمیلی:

نام و نام خانوادگی: دکتر بابک رئیسی دهکردی رتبه دانشگاهی استادیار از پژوهشگاه مواد و انرژی

در حضور هیات داوران، جلسه دفاع از ساعت ۹:۳۰ تا ساعت ۱۲ در پژوهشگاه مواد و انرژی انجام شد و به سوالات هیات داوران پاسخ داده شد. هیات داوران با توجه به دفاعیه داوطلب و ویژگیهای تالیف رساله و همچنین پاسخگویی به سوالات، کیفیت و صحت آزمایشها را تایید و امتیاز تحقیقات انجام شده را با میانگین آراء خوب تعیین می نماید.

فهرست مندرجات

۱	فهرست مندرجات.....
۵	فهرست جدول ها.....
۹	فهرست شکل ها.....
۱۰	چکیده.....
۱۱	فصل اول - مقدمه
۱۲	فصل دوم - مروری بر منابع مطالعاتی
۱۳	۱-۱-۲- مولیبدن دی سیلیساید (MoSi_2)
۱۴	۱-۱-۲- ویژگیهای عمومی
۱۵	۱-۲-۱-۲- دیاگرام فاز سیستم دوتایی Mo-Si
۱۶	۱-۳-۱-۲- خواص MoSi_2
۱۷	۱-۳-۱-۲- مقاومت در برابر اکسیداسیون و خوردگی
۱۸	۱-۳-۱-۲- خواص مکانیکی
۱۹	۱-۴-۱-۲- کاربردهای مولیبدن دی سیلیساید
۲۰	۱-۴-۱-۲- تاریخچه ساخت قطعات بر پایه MoSi_2
۲۱	۲-۱-۲- آلیاز های پایه MoSi_2
۲۲	۲-۱-۲- مولیبدن آلومینو سیلیساید $\text{Mo}(\text{Si},\text{Al})_2$
۲۳	۲-۲-۱-۲- دیاگرام فاز سیستم سه تایی Mo-Si-Al
۲۴	۳-۱-۲- کامپوزیت های زمینه MoSi_2
۲۵	۳-۱-۳-۲- طبقه بندي براساس نوع فاز دوم
۲۶	۳-۱-۳-۲- ۱-۱-۳-۲- کامپوزیت های MoSi_2 تقویت شونده به وسیله فلزات دیرگداز چکش خوار
۲۷	۳-۲-۱-۳-۲- کامپوزیت های زمینه MoSi_2 با فاز دوم سرامیکی
۲۸	۳-۲-۳-۲- طبقه بندي براساس شکل فاز دوم
۲۹	۴-۱-۲- سنتراحتراقی یا SHS
۳۰	۴-۱-۲- ۱-۴-۲- شرح تاریخی پیشرفت و توسعه SHS

۱۹.....	۲-۴-۲- مُدّهای و روش‌های واکنش
۲۵.....	۳-۴-۲- مزایا و معایب SHS
۲۵.....	۴-۴-۲- ویژگی‌های روش SHS
۲۶.....	۵-۴-۲- مکانیزم واکنش‌های احتراقی
۲۸.....	۵-۲- روش‌های زینترینگ ویژه
۲۸.....	۱-۵-۲- زینترینگ فاز مایع
۲۸.....	۱-۱-۵-۲- تعاریف اولیه
۳۰.....	۲-۱-۵-۲- کاربردهای زینترینگ فاز مایع
۳۲.....	۳-۱-۵-۲- نگاهی به مزایا و معایب زینترینگ فاز مایع
۳۳.....	۴-۱-۵-۲- ترتیب مراحل به شکل کلاسیک
۳۶.....	۲-۵-۲- زینترینگ واکنشی
۳۹.....	۶-۲- مروری بر تحقیقات انجام شده در راستای موضوع پروژه
۳۹.....	۶-۲- فرآیند، ریزساختار و خواص مولیبدن آلومینو سیلیساید
۴۷.....	۶-۲- سنتز احتراقی و خواص مکانیکی کامپوزیت‌های مولیبدن دی سیلیساید تقویت شده با ذره‌ای SiC
۵۵.....	۷-۲- جمع بندی مباحث ارائه شده
۵۷.....	فصل سوم - فعالیت‌های تجربی
۵۷.....	۱-۳- مواد اولیه
۵۸.....	۲-۳- تجهیزات
۶۲.....	۳-۳- شرح فرآیند
۶۵.....	فصل چهارم - نتایج و بحث
۶۵.....	۴-۱- سنتز آلیاژ‌های پایه MoSi ₂ با افزودنی آلومینیم (Mo+2(1-x)+2xAl)
۶۵.....	۴-۱-۱-۱- مواد اولیه
۶۵.....	۴-۱-۱-۱-۱- پودر مولیبدن (Mo)
۶۶.....	۴-۱-۱-۱-۲- پودر سیلیکون (Si)

۶۶	-۲-۱-۱-۴	-بررسی چگالش
۶۸	-۳-۱-۱-۴	-پودر آلومینیم(Al)
۶۸	-۱-۱-۱-۴	-نوع Al
۶۸	-۱-۱-۱-۴	-بررسی ریزساختاری
۷۱	-۱-۱-۱-۴	-بررسی چگالش
۷۲	-۱-۱-۱-۴	-درصد Al
۷۲	-۱-۱-۱-۴	-بررسی ریزساختاری
۷۳	-۱-۱-۱-۴	-بررسی چگالش
۷۷	-۱-۱-۱-۴	-بررسی فازی
۹۳	-۱-۱-۱-۴	-بررسی رفتار حرارتی
۱۰۱	-۱-۱-۱-۴	(Microhardness(HV))-سختی سنجی
۱۰۳	-۱-۱-۱-۴	-بررسی ماکروسکوپیک
۱۰۴	-۱-۱-۱-۴	-پرس پودر مخلوط مواد اولیه
۱۰۴	-۱-۱-۱-۴	-بررسی ریزساختاری
۱۰۴	-۱-۱-۱-۴	-بررسی چگالش
۱۰۶	-۱-۱-۱-۴	-پیش گرمایش
۱۰۸	-۱-۱-۱-۴	-سرعت گرمایش
۱۰۸	-۱-۱-۱-۴	-دما نهایی گرمایش
۱۰۹	-۴-۲-۱-۲	-سنتز ترکیبات شامل Mo-Si-Al
۱۰۹	-۴-۲-۱-۲	-پودر سیلیکون کارباید(SiC)
۱۰۹	-۴-۲-۱-۱	-بررسی ریز ساختاری
۱۱۰	-۴-۲-۱-۱	-بررسی دانه بندی
۱۱۰	-۴-۲-۱-۱	-بررسی نوع آلومینیم
۱۱۲	-۴-۲-۱-۲	-تغییرات درصد حجمی SiC (y(vol%))
۱۱۲	-۴-۲-۱-۲	-بررسی ریزساختاری
۱۱۷	-۴-۲-۱-۲	-بررسی چگالش
۱۱۹	-۴-۲-۱-۲	-بررسی فازی
۱۲۲	-۴-۲-۱-۲	-بررسی رفتار حرارتی
۱۲۶	-۴-۲-۱-۲	(Microhardness(HV))-سختی سنجی
۱۲۸	-۴-۲-۱-۲	-بررسی ماکروسکوپیک
۱۳۰	-۴-۱-۳-۲	-جمع بندی مباحث ارائه شده

- ۱۳۳ فصل پنجم - نتیجه گیری
- ۱۳۴ فصل ششم - پیشنهادها
- ۱۳۵ فصل هفتم - منابع

فهرست جدول ها

۶.....	جدول (۱-۲)- انتالپی تشکیل مولیبدن دی سیلیساید.
۱۹.....	جدول (۲-۲)- شرح تاریخی توسعه SHS در نقاط مختلف جهان.
۲۱.....	جدول (۲-۳)- تأثیر پیش گرمایش بر اندازه دانه ها.
۳۲.....	جدول (۴-۲)- مثال هایی از سیستم های زینترینگ فاز مایع و کاربرد هایشان.
۴۴.....	جدول (۵-۲)- مدول الاستیک $Mo(Si_{0.8}Al_{0.2})_2$ و $MoSi_2$ پلی کریستال.
۴۵.....	جدول (۶-۲)- سختی ویکرز و چقرمگی شکست $MoSi_2$ و $Mo(Si_{0.8}Al_{0.2})_2$.
۴۸.....	جدول (۷-۲)- چگالی نسبی و اندازه دانه ها در نمونه های پرس گرم شده.
۵۳.....	جدول (۸-۲)- نتایج تست سختی ویکرز برای $10-20vol\% SiC-MoSi_2$ - $MoSi_2$
۵۳.....	جدول (۹-۲)- مقایسه نتایج سختی ویکرز با نتایج برگرفته شده از ادبیات.
۵۳.....	جدول (۱۰-۲)- نتایج تست خمشی چهار نقطه ای برای $10,20Vol\% SiC-MoSi_2$ و $MoSi_2$ و SiC .
۵۳.....	جدول (۱۱-۲)- مقایسه نتایج تست خمشی چهار نقطه ای با نتایج برگرفته شده از ادبیات.
۵۴.....	جدول (۱۲-۲)- نتایج تافنس شکست برای $10-20vol\% SiC-MoSi_2$ - $MoSi_2$
۵۴.....	جدول (۱۳-۲)- مقایسه نتایج تافنس شکست با نتایج برگرفته شده از ادبیات.
۵۷.....	جدول (۱-۳)- معرفی مواد او لبه مصرفی و ویژگیهای آن.
۵۸.....	جدول (۲-۳)- نسبت مصرف افزودنی های Al و SiC .
۷۹.....	جدول (۱-۴)- معرفی فازهای تشکیل شده در اثر جاگزینی $Al(x)$ به جای Si .
۸۴.....	جدول (۲-۴)- نتایج آنالیز شیمیایی ICP-AES
۸۵.....	جدول (۳-۴)- داده های پراش اشعه X (مشاهده شده و محاسباتی) فاز جدید.
۱۰۷.....	جدول (۴-۴)- دمای آدیباتیک فازهای سیستم $Mo-Si$.

فهرست شکل ها

..... شکل (۱-۲) - ساختار کریستالی MoSi_2 در سیستم تراگونال..... ۶
..... شکل (۲-۲) - دیاگرام فاز Mo-Si ۷
..... شکل (۲-۳) - مدل های گویهای صلب از ساختار کریستالی؛ ۱۴
..... شکل (۲-۴) - دیاگرام فاز به دست آمده از سیستم Mo-Si-Al در ۸۰۰ K ۱۵
..... شکل (۲-۵) - گستردگی جغرافیایی مراکز تحقیقاتی SHS در سراسر جهان ۱۹
..... شکل (۲-۶) الف و ب - تصویر SEM از نمونه های پرس شده با فشار ۱۵۰ Mpa و سنتز شده در خلاء به ترتیب بدون پیش گرمایش و با پیش گرمایش (ترکیب نمونه ها $\text{Mo}+2\text{Si}$ و دمای پیش گرمایش ۲۳
..... شکل (۷-۲) - تاثیر افزایش دمای پیش گرمایش نمونه ها بر تغییرات حجم محصول سنتز شده در اتمسفرهای آرگن و خلاء ۲۴
..... شکل (۸-۲) - وابستگی دمای احتراق به دمای پیش گرمایش نمونه ها در سه حالت؛ ۲۴
..... الف - محاسباتی (آدیابتیک) ب - اتمسفر آرگن ج - در اتمسفر خلاء ۲۴
..... شکل (۹-۲) - نسبت گرمای تشکیل محصول به ظرفیت گرمایی آن در k_{298} در برابر دمای آدیابتیک ۲۶
..... شکل (۱۰-۲) - مراحل کلاسیک زینترینگ فاز مایع شامل پودر مخلوطی که در اثر گرمایش مایع تشکیل می شود ۳۴
..... شکل (۱۱-۲) - مراحل فرآیند مطابق با زینترینگ فاز مایع کلاسیک، که عمدۀ تغییرات ریزساختاری را ارائه می دهد ۳۶
..... شکل (۱۲-۲) - نمایشی از دیاگرام فاز دو تایی که اجزاء آن یک ترکیب واسطه AB با پایداری بالا را تشکیل می دهند ۳۷

- شكل(۲-۱۳)- تغییرات در دانسیته بعد از زینترینگ بدلیل عملیات حرارتی به مدت ۲ ساعت در دماهای مختلف قبل از شروع زینترینگ واکنشی پودرهای مخلوط Ni, Al در مخلوط ۳۸.....استوکیومتری Ni_3Al
- شكل(۲-۱۴)- ذرات بزرگ آلومنیم یک مذاب مجزا از هم در طول زینترینگ واکنشی تشکیل میدهد. ۳۹
- شكل(۲-۱۵)- پروفیل دمایی فرآیند سنتز انفجار حرارتی میکروپیرتیک؛ ۴۱.....واکنش $\text{Mo}+1.6\text{Si}+0.4\text{Al}$
- شكل(۲-۱۶)- منحنی DTA برای مخلوط واکنشی $\text{Mo}+1.6\text{Si}+0.4\text{Al}$ در سرعت گرمایش ۴۲.....در اتمسفردر جریان آرگن
- شكل (۲-۱۷)- تاثیر دمای کوره روی دانسیته نمونه سنتز شده ۴۲.....
- شكل (۲-۱۸)- ریزساختار اپتیکی (با نور پلازیزه) از یک بخش پلیش شده نمونه سنتزی احتراق انفجار حرارتی ۴۳.....
- شكل (۲-۱۹)- الگوی XRD نمونه سنتز احتراقی انفجار حرارتی $\text{Mo}(\text{Si},\text{Al})_2$ ، به عنوان پیک اصلی و ۴۳.....به عنوان پیک فرعی) Mo_5Si_3
- شكل (۲-۲۰)- میکروگراف SEM با متدهای BSE حضور ۳ فاز در محصول سنتزی؛ $\text{Mo}(\text{Si},\text{Al})_2$ زمینه، ۴۴..... Mo_5Si_3 (مناطق سفید) و Al_2O_3 (فاز تیره).....
- شكل(۲-۲۱)- مقاومت اکسیداسیون سیکلی (دوره ای) (الف) دما بالا و (ب) دما پایین سنتز احتراقی انفجار حرارتی $\text{Mo}(\text{Si}_{0.8}\text{Al}_{0.2})_2$ ۴۶..... MoSi_2 و $\text{Mo}(\text{Si}_{0.8}\text{Al}_{0.2})_2$
- شكل (۲-۲۲)- الگوهای XRD از نمونه های سنتز احتراقی شده قبل از پرس گرم ۴۹.....
- شكل (۲-۲۳)- تصویر SEM از سطح شکست MoSi_2 (در مدد الکترون های ثانویه) ۵۰.....
- شكل (۲-۲۴)- تصویر SEM از سطح شکست $20\text{Vol\% SiC-MoSi}_2$ (در مدد الکترون های ثانویه) ۵۰.....
- شكل (۲-۲۵)- تصویر SEM از سطح اج شده؛ (الف)- سطح پلیش شده و (ب)- سطح اج شده- SiC ۵۱.....
- شكل (۲-۲۶)- تصویر SEM (با ترکیبی از مدد الکترون های ثانویه و بازگشتی) ۵۱..... 20Vol\% MoSi_2
- شكل (۲-۲۷)- تصویر SEM از؛ (الف)- سطح پلیش شده و (ب)- سطح اج شده (با ترکیبی از مدد الکترون های ثانویه و بازگشتی) ۵۲.....

شکل (۱-۳) - کوره تیوبی پیش گرمایش با قابلیت گرمایش تا 800°C ، با تیوب کوارتزی، اتمسفر کنترل (تجهیز به سیستم خلاء).....	۶۱
شکل (۲-۳) - کوره تیوبی با قابلیت گرمایش 1200°C با تیوب کوارتزی، اتمسفر کنترل (تجهیز به جریان گاز خنثی (آرگن)).....	۶۱
شکل (۳-۳) - نمودار مراحل فرآیند سنتز؛ الف- فرآیند سنتز آلیاژ $\text{Mo}+2(1-x)\text{Si}+2x\text{Al}$ و ب- فرآیند سنتز ترکیبات $\text{Mo}+2(1-x)\text{Si}+2x\text{Al}+y\text{SiC}$	۶۴
شکل (۴-۱) - تصویر SEM از پودر Mo.....	۶۵
شکل (۴-۲) - تصویر SEM از پودر Si (as-received) از پودر.....	۶۶
شکل (۴-۳) - تأثیر اندازه دانه های پودر Si بر چگالی نسبی نمونه های فشرده شده خام و محصول سنتز شده.....	۶۷
شکل (۴-۴) - تصویر SEM از ۳ نوع پودر Al مورد استفاده؛ الف- پودر آلومینیم (AMB)، ب- پودر آلومینیم (AM) و ج- پودر آلومینیم (AF).....	۶۹
شکل (۴-۵) - تصویر ریزساختار (سطح شکست) از نمونه های حاوی؛ الف- آلومینیم (AMB)، ب- آلومینیم (AM) و ج- آلومینیم (AF).....	۷۰
شکل (۴-۶) - تأثیر نوع Al بر چگالی نسبی نمونه های فشرده شده خام و محصول سنتز شده؛	
شکل (۴-۷) - تصویر ریزساختار (سطح شکست) از نمونه های حاوی آلومینیم AM.....	۷۵
شکل (۴-۸) - تأثیر درصد Al بر؛ الف- چگالی نسبی نمونه های فشرده خام و ب- چگالی نسبی محصول.	۷۶
شکل (۴-۹) - تصویر ریزساختار (سطح شکست) نمونه حاوی آلومینیم (AF) با $x=0.5$	۷۷
شکل (۴-۱۰) - دیاگرام تعادلی سه جزئی سیستم Mo-Si-Al در ۸۰۰K.....	۷۸
شکل (۴-۱۱) - نمودار فاز های تشکیل شده در حین سنتز در سیستم سه تایی Mo-Si-Al با جانشینی	
شکل (۴-۱۲) - نمودار فاز های تشکیل شده در حین سنتز در سیستم سه تایی Mo-Si-Al (به جای Al) در ترکیب $\text{Mo}+2(1-x)+2x\text{Al}$ با $x=0.2$ ، $\text{Mo}+2(1-x)+2x\text{Al}$ با $x=0.3$ ، $\text{Mo}+2(1-x)+2x\text{Al}$ با $x=0.4$	۷۸
شکل (۴-۱۳) - الگوی پراش اشعه X از نمونه های با ترکیب $\text{Mo}(\text{Si},\text{Al})_2$ (فاز _۲).....	۷۹
شکل (۴-۱۴) - الگوی پراش اشعه X از نمونه های با ترکیب $\text{Mo}+2(1-x)+2x\text{Al}$ با $x=0.3$	۸۰

- شکل(۴-۱۴)- الگوی پراش اشعه X (در محدوده پیک ۱۰۰) از نمونه های با ترکیب $Mo+2(1-x)+2xAl$
- ۸۱..... الف- $x=0.2$ ، ب- $x=0.3$ و ج- $x=0.2$ در یک نمودار.
- شکل(۴-۱۵)- الگوی پراش اشعه X از نمونه های با ترکیب $Mo+2(1-x)+2xAl$:
- ۸۲..... الف- $x=0.5$ و ب- $x=0.4$
- شکل(۴-۱۶)- الگوی پراش اشعه X: از نمونه های با ترکیب $Mo+2(1-x)+2xAl$ در:
- الف- $x=0.3$ (فاز₂) و $Mo(Si,Al)_2$ (فاز₁)
- ۸۳..... فاز₃ ($Mo_{2.85}Al_{1.91}Si_{4.81}$) در یک نمودار.
- شکل(۴-۱۷)- الگوی پراش اشعه X: از نمونه های با ترکیب $Mo+2(1-x)+2xAl$ در $x=0.2$ تا $x=0.5$ در یک نمودار به همراه معرفی فازهای اصلی و فرعی سنتز شده.
- ۸۷.....
- شکل(۴-۱۸)- تغییرات پارامترهای شبکه(a, c) سلول واحد اولیه فاز جدید با افزایش درصد (AM)
- ۸۹..... Al
- شکل(۴-۱۹)- تغییرات حجم (V) و چگالی(d) سلول واحد اولیه فاز جدید با افزایش درصد (AM)
- ۸۹..... Al
- شکل(۴-۲۰)- الگوهای پراش اشعه X فازهای بدست آمده در حین سنتز را نشان می دهد: (a)
- ۹۰..... $Mo+1.6Si+0.4Al(x=0.2)$ (c) و $Mo+1.7Si+0.3Al(x=1.5)$ (b) . $Mo+2Si$
- شکل(۴-۲۱) الگوی اشعه X از؛ الف- نمونه سنتزاحترافی شده (به روش مد انفجار حرارتی)
- ب- نمونه های با ترکیب $Mo+2(1-x)+2xAl$
- ۹۰..... $x=0.05$ در حالت ۰.۲۰(f), ۰.۱۰(e), ۰.۰۵(d), ۰.۰۲۵(c), ۰.۰۱۲۵(b), ۰.۰(a)=x جانشینی Al ظهور فاز C40 با بزرگ نمایی بیشتر نمایش داده شده
- ج- نمونه با ترکیب pesudo- HIP $Mo+2(1-x)+2xAl$ شده
- ۹۱.....
- شکل(۴-۲۲)- الگوی پراش اشعه X از ترکیب $Mo_{33.3}Al_{17}Si_{49.6}$ (x=0.25) ، و رسیدن به فاز ۳۵ (b)، ۱۵ (a) , (soaking time) آماده شده در دمای $1300^{\circ}C$ در زمان نگهداری $Mo(Si,Al)_2$
- ۹۲..... .45min (c),

شکل(۴-۲۳)-الگوی DSC از نمونه فشرده شده خام با ترکیب $Mo+2(1-x)+2xAl$ ، $x=0.0$

۹۳ (Mo+2Si)

شکل(۴-۲۴)-الگوی DSC از نمونه فشرده شده خام با ترکیب $Mo+2(1-x)+2xAl$ ، $x=0.2$

۹۵ (Mo+1.6Si+0.4Al)

شکل(۴-۲۵)-الگوهای DSC از نمونه های فشرده شده خام با ترکیب ، $Mo+2(1-x)+2xAl$:الف-

۹۶ $x=0.4$ و ج- $x=0.5$ ب-

شکل(۴-۲۶)-الگوهای DSC از نمونه های فشرده شده خام با ترکیب ، $Mo+2(1-x)+2xAl$ ، از

۹۷ $x=0.5$ - تا $x=0.0$

شکل(۴-۲۷)-دیاگرام تعادلی فازی سیستم Si-Al

شکل(۴-۲۸) تغییرات دمای شروع و قله(peak-onset) پیک اگزوترمیک در منحنی DSC نمونه ها با
درصد Al ۹۸

شکل(۴-۲۹) تغییرات اختلاف دمای شروع (peak) و قله (onset) تا قله (peak) در منحنی DSC زمانی رسیدن از دمای شروع (onset) در منحنی DSC نمونه ها با درصد Al ۱۰۰

شکل(۴-۳۰) تغییرات شدت (پیک اگزوترمیک) و دمای شروع (onset) واکنش با درصد Al در منحنی DSC نمونه ها ۱۰۰

شکل(۴-۳۱) الف- نتایج سختی (HV) به دست آمده از نمونه های سنتز شده با افزایش درصد آلومینیم (AM)، ب- مقایسه نتایج به دست آمده از ارقام سختی درنسبت های

۱۰۲ با داده های ارائه شده در ادبیات. ($x=0.0(MoSi_2), 0.2$)

شکل(۴-۳۲) - تصویر ماکروسکوپیک از نمونه های؛ الف- (۱) نمونه خام و (۲) نمونه آلیاژ سنتز شده با ترکیب $x=0.3$ ، ب- (۱) نمونه خام و (۲) نمونه سنتز شده با ترکیب $x=0.5$ ۱۰۳

شکل(۴-۳۳) تصویر ریزساختار(سطح شکست) نمونه های سنتز شده الف- فشار پرس خام ۸۹MPa و ب- فشار پرس خام ۱۷۷MPa (۱۰۵) ($x=0.2$)

شکل(۴-۳۴) تصویر ریزساختار(سطح شکست) نمونه های سنتز شده الف- بدون اعمال پیش گرمایش و ب- با پیش گرمایش در دمای $400^{\circ}C$ در زمان ۱ ساعت و در محیط خلاء (۱۰۷) ($x=0.2$)

شکل(۴-۳۵)- تصویر SEM از پودر SiC (as-received) شکل(۴-۳۶) مقایسه چگالی نسبی خام و سنتز شده نمونه های حاوی SiC با

شکل(۴-۳۷) - تأثیر نوع آلومینیم با افزایش SiC بر چگالی خام و نهایی نمونه ها..... $SiC=10vol\% \text{ درصد}$

شکل(۴-۳۸) - تأثیر نوع آلمینیم با افزایش SiC بر چگالی خام و نهایی نمونه ها..... $325mesh(45\mu m)$

شکل(۴-۳۹) - تصویر SEM از ریز ساختار محصولات سنتز شده با ترکیب:

الف- $x=0.3, y=20vol\% \text{ و ج- } x=0.3, y=10vol\%$ شکل(۴-۴۰) - تصویر SEM از ریز ساختار محصولات سنتز شده با ترکیب:

الف- $x=0.3, y=40vol\% \text{ و ج- } x=0.3, y=25vol\%$ شکل(۴-۴۱) - تغییرات چگالی نسبی نمونه های پرس شده خام با افزایش درصد حجمی SiC

شامل درصد های متفاوت Al(AM) و ب- تغییرات چگالی نسبی نهایی نمونه های سنتز شده با

افزایش درصد حجمی SiC شامل درصد های متفاوت Al(AM) در

شکل(۴-۴۲) - الگوی پراش اشعه X: از نمونه با ترکیب پایه $Mo+2(1-x)+2xAl$ در

$x=0.3 (AM=10.7wt\%)$ و نمونه های شامل SiC با همین ترکیب و به همراه فاز دوم (SiC) از

۱۲۰..... $y=10vol\% \text{ تا } 40vol\%$ در یک نمودار به همراه معرفی فازهای اصلی و فرعی سنتز شده....

شکل(۴-۴۳) - تغییرات پارامترهای شبکه (c, a) سلول واحد اولیه با افزایش SiC از $y=0-40vol\%$

۱۲۱..... $x=0.3 (AM=10.7wt\%)$ در $Mo+2(1-x)+2xAl$ به ترکیب پایه

شکل(۴-۴۴) - تغییرات حجم و دانسیته سلول واحد اولیه با افزایش SiC از $y=0-40vol\%$ به ترکیب

۱۲۱..... $x=0.3 (AM=10.7wt\%)$ در $Mo+2(1-x)+2xAl$ پایه

شکل(۴-۴۵) - الگوی DSC از نمونه فشرده شده خام با ترکیب $x=0.3, y=20vol\%$

شکل(۴-۴۶) - نمودار تغییرات دمای شروع و قله (peak-onset) پیک اگزوترمیک در منحنی

DSC نمونه ها (شکل های ۴-۲۵-الف و ۴-۴-الف) با ترکیب پایه مشابه

۱۲۴..... $(x=0.3, y=20vol\%)$ بدون فاز دوم و به همراه فاز دوم ($x=0.3=AM=10.7wt\%$)

- شکل(۴۷-۴) - نمودار تغییرات اختلاف دمای شروع (onset) و قله (peak) به همراه اختلاف زمانی رسیدن از دمای شروع (onset) تا قله (peak) پیک اگزوترمیک در منحنی DSC نمونه ها(شکل ۲۵-۴-الف و ۴۵-۴) با ترکیب پایه مشابه ($x=0.3=AM=10.7\text{wt\%}$) بدون فاز دوم و به همراه فاز دوم SiC ۱۲۵.....
- شکل(۴۸-۴) - نمودار تغییرات شدت (پیک اگزوترمیک) و دمای شروع (onset) واکنش در منحنی DSC نمونه ها(شکل های ۲۵-۴-الف و ۴۵-۴) با ترکیب پایه مشابه ($x=0.3=AM=10.7\text{wt\%}$) بدون فاز دوم و به همراه فاز دوم SiC ۱۲۵.....($x=0.3, y=20\text{vol\%}$)
- شکل(۴۹-۴) الف- نتایج سختی (HV) به دست آمده از نمونه های سنتز شده با افزایش درصد آلومینیم (AM) و درصد حجمی SiC ، ب- مقایسه نتایج به دست آمده از ارقام سختی دراین تحقیق با داده های ارائه شده در ادبیات ۱۳۷.....
- شکل(۵۰-۴)- تصویر ماکروسکوپیک از نمونه های سنتز شده؛ الف- (۱) نمونه خام و (۲) نمونه همراه با SiC با ترکیب $x=0.3, y=10\text{vol\%}$ و ب- (۱) نمونه خام و (۲) نمونه همراه با SiC با ترکیب $x=0.3, y=40\text{vol\%}$ ۱۳۹.....
- شکل(۵۱-۴)- تصویر ماکروسکوپیک از نمونه های سنتز شده؛ (۱) نمونه خام، (۲) نمونه آلیاژ با ترکیب $x=0.3, y=10\text{vol\%}$ و (۳) نمونه با ترکیب $x=0.5$ با ترکیب $x=0.3, y=40\text{vol\%}$ ۱۴۹.....
- شکل(۵۲-۴)- نمایش مدلی شماتیک از مراحل اتفاقات مورد انتظار در طول سنتز احتراقی (SHS) در مد انفجار حرارتی آلیاژ های $\text{Mo}+2(1-x)+2x\text{Al}$ با افزایش دما (درجہت پیکان ها) ۱۴۲.....

چکیده

هدف از اجرای این پژوهش سنتز و چگالش ترکیبات پایه MoSi_2 با افزودنی Al و SiC به روش SHS در یک مرحله بدون اعمال فشار خارجی و بدون عبور از مراحل تکمیلی زینترینگ بوسیله بهینه سازی پارامترهای مؤثر بر این فرآیند بود. در این راستا، عملیات تجربی پژوهه در دو مرحله اجرا شد. در مرحله اول، هدف تهیه آلیاژ $\text{Mo}+2(1-x)\text{Si}+2x\text{Al}$ بود بنابراین مواد اولیه $(\text{Mo}, \text{Si}, \text{Al})$ با نسبت استوکیومتری مورد نظر ($x=0.2-0.5$) باهم مخلوط شد و پس از پرس، فرآیند پیش گرمایش در محیط خلاء و درنهایت سنتز در محیط آرگن را طی کرد. در این مرحله با بهینه سازی عواملی چون؛ دانه بندی Si ، نوع درصد و دانه بندی Al ، فشار پرس، دمای پیش گرمایش، سرعت گرمایش و دمای سنتز، محصولی با چگالی نسبی نهایی بالاتر از 90% بدست آمد. بررسی محصول سنتز شده توسط XRD نشان داد که علاوه بر فاز $\text{Mo}(\text{Si}, \text{Al})_2$ که در نسبت استوکیومتری $x=0.2$ حاصل می شود، فاز جدید $\text{Mo}_{2.85}\text{Al}_{1.91}\text{Si}_{4.81}$ نیز در نسبت های استوکیومتری $0.5 \leq x \leq 0.3$ به دست می آید. سختی نمونه های سنتز شده آلیاژی در حدود 8GPa بهارقای سختی HV نزدیک به ارقام سختی MoSi_2 بود. در مرحله دوم، هدف تهیه ترکیبات SiC به از $y=10-40\text{vol\%}$ بود بنابراین درصد های حجمی (y) از $\text{Mo}+2(1-x)\text{Si}+2x\text{Al}-y\text{SiC}$ ترکیب بهینه (مواد اولیه) به دست آمده در مرحله اول برای رسیدن به ترکیب های اشاره شده اضافه شد و فرایند سنتز برای این نمونه ها مشابه مرحله قبل تکرار گردید. با مقایسه ویژگی های ترکیب های سنتز شده در این مرحله با نمونه های آلیاژی به دست آمده در مرحله اول، می توان گفت: از نظر ریزساختار، اندازه دانه ها ریز تر شده، از نظر چگالش؛ به چگالی نسبی نهایی بالاتر از 80% کاهش یافته، از نظر فازی حضور فاز جدید $\text{Mo}_{2.85}\text{Al}_{1.91}\text{Si}_{4.81}$ در تمامی نسبت های 7GPa حجمی (y) سیلیکون کارباید در کنار فاز SiC دیده می شود و سختی نمونه ها به حدود $\text{HV}=700$ تنزل پیدا کرده است.